

討9 正則溶液モデルによるスラグ成分の活量の算出

東北大学 工学部

萬谷志郎, 日野光元

1. 緒言

フラックスやスラグを用いて溶銑、溶鋼を酸化精錬する場合、 Fe_3O を始めとする各成分の活量の組成依存性を明らかにすることが重要である。

著者は多くのスラグ系で、 $\text{Fe}(\text{s}, \text{溶りっぽ}) - (\text{Fe}_3\text{O}-\text{SiO}_2-\text{MxOy}, l, \text{スラグ}) - \{\text{H}_2\text{O}/\text{H}_2\}$ 間の化学平衡の測定により、酸化鉄の活量 $\alpha_{\text{Fe}_3\text{O}}$ を求め、さらに本系に Lumsden が提案したスラグへの正則溶液モデル⁽¹⁾を適用し、他成分の活量を算出している。これらの活量の計算値を諸家の実測値と比較したところ、溶銑予備処理用ソーダ系フラックスや製鋼スラグの広範囲組成で十分適用性のあることを確認したので、本研究では、主に $\text{Fe}_3\text{O}-\text{SiO}_2-\text{CaO}$ 系を例に取り上げ、これらのスラグが溶銑と平衡する場合の、スラグ各成分の活量、 $\text{Fe}^{3+}/\text{Fe}^{2+}$ 比、スラグ-メタル間界面の平衡酸素分圧などを算出し、スラグ-メタル間の酸素の分配など若干の検討を行なった。

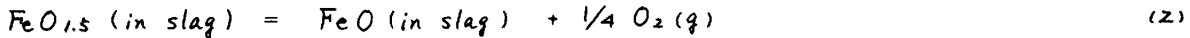
2. $\text{Fe}_3\text{O}-\text{SiO}_2-\text{CaO}$ 系スラグの正則溶液モデルの整合性

2.1 $\text{Fe}^{3+}/\text{Fe}^{2+}$ 平衡

正則溶液モデルでは、スラグ成分 i の活量係数 Y_i は(1)式で与えられる。

$$RT \ln Y_i = \sum_j \alpha_{ij} X_j^2 + \sum_{j,k} (\alpha_{ij} + \alpha_{ik} - \alpha_{jk}) X_j X_k \quad (1)$$

ここで、 α_{ij} は陽イオン $i - j$ 間の相互作用エネルギー (cal) で、成分の順は $i, j, k \dots$ である。酸化鉄を含むスラグとガス間に(2)式で示す平衡関係がある。



(2)式において各酸化鉄の活量係数を(1)式を用いて算出し、(2)式の自由エネルギー変化の式に代入し、実験で測定できる項と、未知の項に分離し整理すると、 $\text{Fe}_3\text{O}-\text{CaO}$ 系では(3)式、 $\text{Fe}_3\text{O}-\text{SiO}_2-\text{CaO}$ 系では(4)式を得る。

$$(\alpha_{\text{Fe}^{2+}-\text{Ca}^{2+}} - \alpha_{\text{Fe}^{3+}-\text{Ca}^{2+}}) X_{\text{CaO}} = YA \quad \text{for System } \text{Fe}_3\text{O}-\text{CaO} \quad (3)$$

$$(\alpha_{\text{Fe}^{2+}-\text{Ca}^{2+}} - \alpha_{\text{Fe}^{3+}-\text{Ca}^{2+}}) \frac{X_{\text{CaO}}}{X_{\text{SiO}_2}} = YB \quad \text{for System } \text{Fe}_3\text{O}-\text{SiO}_2-\text{CaO} \quad (4)$$

ただし、YA, YB は実験条件等により求まる既知項である。

(3)式、(4)式の関係を、過去に報告された諸家の測定値より求め、Fig. 1 に示した。

2.2 Fe^{2+}/Fe 平衡

鉄と平衡する $\text{Fe}_3\text{O}-\text{SiO}_2-\text{CaO}$ 系スラグとガス間に(2)式と同時に、(5)式で示す平衡関係が存在する。



(5)式に正則溶液モデルを適用し、整理すると(6)式を得る。

$$\alpha_{\text{Fe}^{2+}-\text{Ca}^{2+}} \left(1 + \frac{X_{\text{CaO}}}{X_{\text{SiO}_2}} \right) - \alpha_{\text{Si}^{4+}-\text{Ca}^{2+}} = YC \quad (6)$$

ここで、YC は実験条件で求まる既知項である。

(6)式の関係を、諸家の測定値より求め、Fig. 2 に示した。

Figs. 1, 2 は共に $X_{\text{CaO}}/X_{\text{SiO}_2} > 0.67$ で非常に良い直線関係を示すので、 $\text{Fe}_3\text{O}-\text{SiO}_2-\text{CaO}$ 系スラグは高 SiO_2 膠度域を除き、

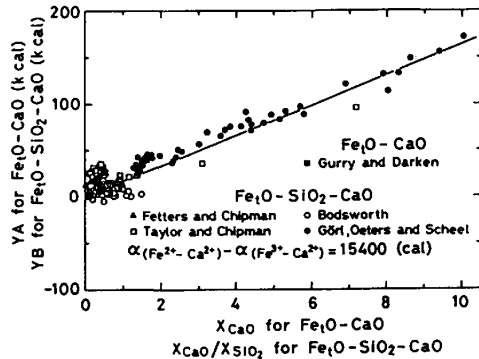


Fig. 1. Relation between YA and X_{CaO} in $\text{FeO}-\text{FeO}_{1.5}-\text{CaO}$ slags in equilibrium with $P_{\text{CO}_2} = 1 \text{ atm.}$, and relation between YB and $X_{\text{CaO}}/X_{\text{SiO}_2}$ in $\text{FeO}-\text{FeO}_{1.5}-\text{SiO}_2-\text{CaO}$ slags in equilibrium with iron.

広域基度域で正則溶液モデルに整合することが判り、Figs. 1, 2より Ca^{2+} が関与する相互作用エネルギーを求めることができた。

3. 相互作用エネルギー α_{ij} の検討

上記の方法で求まる相互作用エネルギーは正則溶液の俠走に基づいており、各スラグ成分の活量係数に及ぼす他成分の影響を表す値である。従って α_{ij} は各陽イオンを含む單純酸化物から複合酸化物を生成する際の生成熱 ΔH^M と対応関係がある。しかし ΔH^M の正確な資料は極めて少ない。

一般に酸化物の融解熱は固体複合酸化物の生成熱 $\Delta H_{f,298}^M$ に較べ極めて小さく、かつ複合酸化物の生成熱の温度係数も非常に小さいので、2元素の場合、(7)式の関係が近似的に成立する。

$$\Delta H_{f,298}^M = \alpha_{ij} X_i X_j \quad (7)$$

$\Delta H_{f,298}^M$ の値として $\Delta H_{f,298}^{\circ}$ を採用し、過去著者らが測定した α_{ij} との(7)式の関係を示したのがFig. 3である。Fig. 3より $\Delta H_{f,298}^{\circ} \lesssim 10 \text{ kcal}$ の範囲では(7)式を満足しており、カルシウム・シリケートより相互作用エネルギーが小さい酸化物から成る複合酸化物については、ほぼ全組成域を正則溶液として取扱えるものと推察できる。

4. $\text{Fe}^{3+}/\text{Fe}^{2+}$ 平衡への正則溶液モデルの適用

Lumsdenにより(2)式の自由エネルギー変化が与えられているので、ガス相中の P_{O_2} 、または溶鉄中の O_2 、並びに温度がわかれば正則溶液モデルからスラグ中の $\text{Fe}^{3+}/\text{Fe}^{2+}$ 比の組成依存性を算出できる。 $\text{Fe}_3\text{O}_4 - \text{SiO}_2 - \text{CaO}$ 系にモデルを適用し、算出した Fe^{3+} 分率を $N_{\text{Fe}_2\text{O}_3}$ 量に換算し、実測値と比較したのが、Fig. 4であり、両者は良く一致する。

5. スラグ-メタル界面の平衡 P_{O_2} への正則溶液モデルの適用

(5)式の自由エネルギー変化は、同様に Lumsdenにより与えられている。従って、マスラグ組成から、正則溶液モデルにより溶鉄-スラグ間の平衡 P_{O_2} を算出できる。これを本系スラグが溶鉄と平衡する場合につき算出し、上記の $\text{Fe}^{3+}/\text{Fe}^{2+}$ 比のスラグ組成依存性と共に Fig. 5に示した。

6. スラグ成分の活量計算

正則溶液モデルにより算出した活量は、各酸化物の濃度として陽イオン1個当たりのモル分率を採用し、基準状態としては夫々の正則溶液の関係が成立すると仮定した純粋な液体である。一般的な場合は、その温度で守るかな純物質か活量の基準に採られている。従って

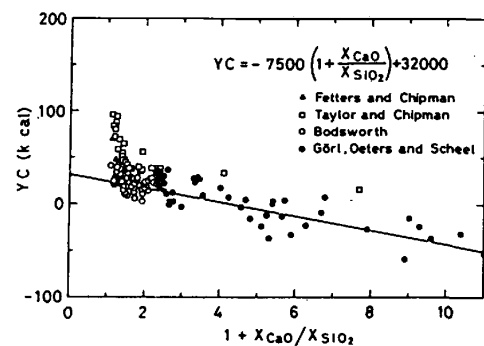


Fig. 2. Relation between YC and $1 + XC_{\text{CaO}}/X_{\text{SiO}_2}$ in $\text{FeO}-\text{Fe}_{1.5}-\text{SiO}_2-\text{CaO}$ slags in equilibrium with iron.

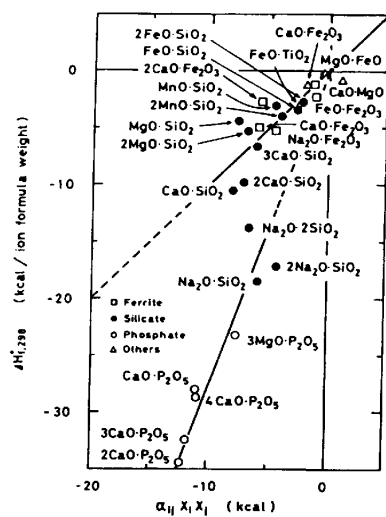


Fig. 3. Correlation between interaction energies and heats of formation of complex oxides from the oxides at 298 K.

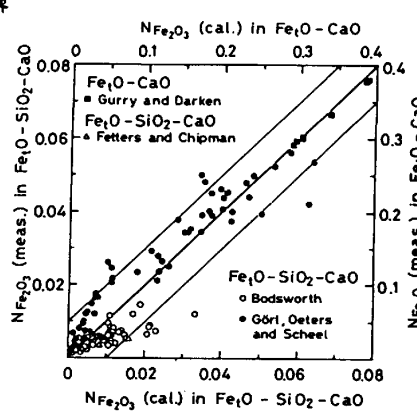


Fig. 4. Relation between calculated and measured $N_{\text{Fe}_2\text{O}_3}$ contents in $\text{Fe}_3\text{O}_4-\text{CaO}$ slags in equilibrium with $P_{\text{CO}_2} = 1 \text{ atm}$, and that in $\text{Fe}_3\text{O}_4-\text{SiO}_2-\text{CaO}$ slags in equilibrium with iron.

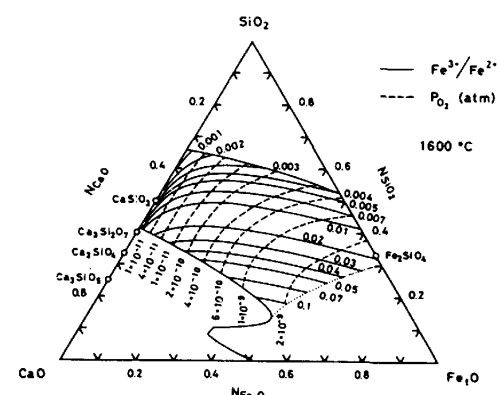


Fig. 5. Iso- $\text{Fe}^{3+}/\text{Fe}^{2+}$ ratio curves and iso-equilibrium P_{O_2} curves at the interface between $\text{Fe}_3\text{O}_4-\text{SiO}_2-\text{CaO}$ slags and liquid iron at 1600 °C.

これらの活量間の変換式が必要である。

6.1 $\text{Fe}_{t\text{O}}$ の活量

諸家の $\text{Fe}_{t\text{O}}-\text{SiO}_2$ 系スラグの測定結果は良く正則溶液モデルに整合していた。そこで、本系の $\alpha_{\text{Fe}_{t\text{O}}}$ とガス相中の P_{O_2} との平衡式と(5)式の平衡式を組合せて、鉄と平衡する純 $\text{Fe}_{t\text{O}}$ と化学量論組成 FeO の活量の変換式として次式を得た。

$$RT \ln \alpha_{\text{Fe}_{t\text{O}}} = RT \ln \alpha_{\text{FeO}} (\text{R.S.}) - 2040 + 1.707T \quad (8)$$

(8)式の関係を Fig. 6 に実験で示し、同図には正則溶液モデルで算出した α_{FeO} と実測値 $\alpha_{\text{Fe}_{t\text{O}}}$ と対比して示したが、両者はシリカやウスタイト飽和組成を除き、全スラグ組成域、広温度域で極めて良く(8)式の関係を満足している。そこで(8)式の関係を $\text{Fe}_{t\text{O}}-\text{SiO}_2-\text{CaO}$ 系スラグに適用し、 $\alpha_{\text{Fe}_{t\text{O}}}$ の計算値と実測値を Fig. 7 に示した。両者は $\alpha_{\text{Fe}_{t\text{O}}} < 0.6$ で良く一致している。

6.2 SiO_2 の活量

$\text{Fe}_{t\text{O}}-\text{SiO}_2$ 系スラグの測定より $\alpha_{\text{Fe}_{t\text{O}}} = RT \ln Y_{\text{Fe}_{t\text{O}}} / (1 - N_{\text{Fe}_{t\text{O}}})^2$ を求め Fig. 8 に示した。 $\alpha_{\text{Fe}_{t\text{O}}}$ により $\alpha_{\text{Fe}_{t\text{O}}}(\text{l})$ の温度関数を求め、これらに Gibbs-Duhem の式を適用して $\alpha_{\text{SiO}_2(\text{s})}$ の温度関数を求めた。スラグ組成から $\alpha_{\text{SiO}_2(\text{R.S.})}$ を算出し、上記の $\alpha_{\text{SiO}_2(\text{s})}$ と対比して、相互の変換式として(9)式を得た。

$$RT \ln \alpha_{\text{SiO}_2(\beta\text{-cr})} = RT \ln \alpha_{\text{SiO}_2(\text{R.S.})} + 6462 - 0.474T \quad (9)$$

変態の自由エネルギー変化と組合せ、得た $\alpha_{\text{SiO}_2(\beta\text{-tr})}$ と $\alpha_{\text{SiO}_2(\text{R.S.})}$ の対応

関係を $\text{Fe}_{t\text{O}}-\text{SiO}_2$

系について示した

のが Fig. 9 である。

実測値と計算値の

対応は極めて良い。

そこで(9)式の関

係を $\text{CaO}-\text{SiO}_2$ 系

に適用し、正則溶

液関係から α_{SiO_2}

($\beta\text{-cr}$) を算出し、

諸家の結果と対比

し Fig. 10 に示した。

本計算値は Key ら

の測定に非常に良

く一致している。

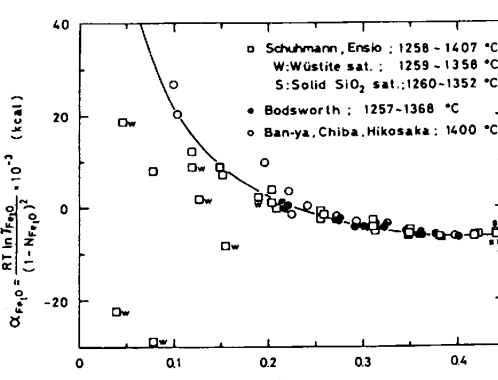


Fig. 8. α -function of $\text{Fe}_{t\text{O}}$ in $\text{Fe}_{t\text{O}}-\text{SiO}_2$ slags.

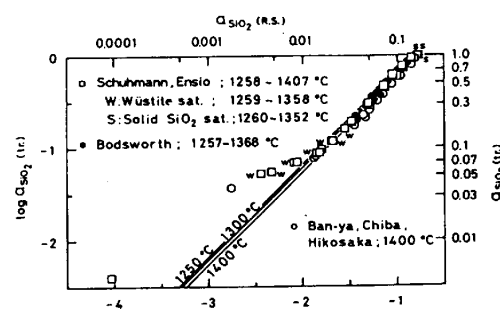


Fig. 9. Relation between calculated $\alpha_{\text{SiO}_2(\beta\text{-tr.})}$ and measured in $\text{Fe}_{t\text{O}}-\text{SiO}_2$ slags in equilibrium with solid iron.

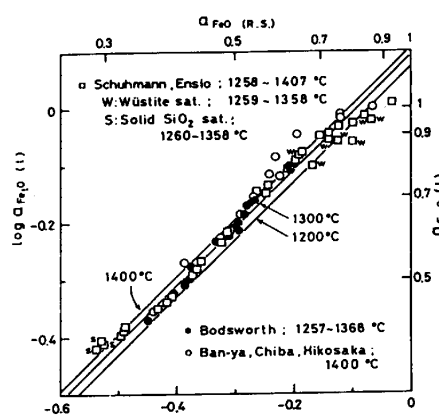


Fig. 6. Relation between calculated and measured $\alpha_{\text{Fe}_{t\text{O}}}$ in $\text{Fe}_{t\text{O}}-\text{SiO}_2$ slags.

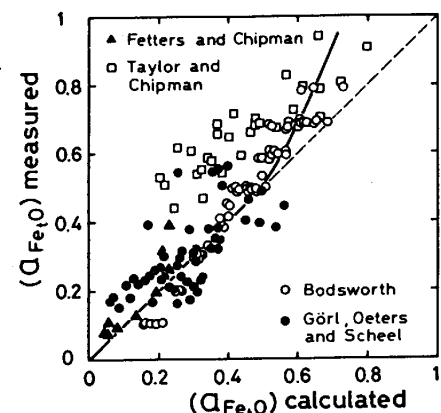


Fig. 7. Comparison of calculated $\alpha_{\text{Fe}_{t\text{O}}}$ with measured in $\text{Fe}_{t\text{O}}-\text{SiO}_2-\text{CaO}$ slags in equilibrium with iron.

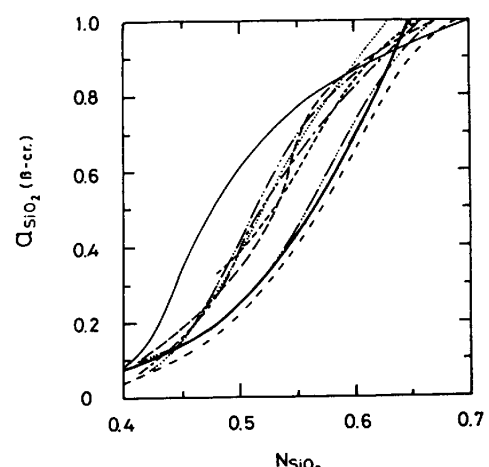
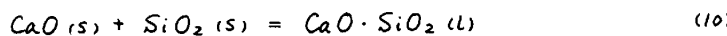


Fig. 10. Activity of SiO_2 in $\text{CaO}-\text{SiO}_2$ system.

6. 3 CaO の活量

(10) 式に示す $\text{CaO} \cdot \text{SiO}_2$ (l) の生成自由エネルギー変化を用いて、 a_{CaO} の変換式を求めた。



即ち、 $\text{CaO} \cdot \text{SiO}_2$ 系で $\text{CaO}/\text{SiO}_2 = 1$ の $\Delta S \cdot \text{O}_2(\beta\text{-cr})$ を (9) 式を用いて算出し、次に (10) 式で $a_{\text{CaO}} \cdot \text{SiO}_2(l) = 1$ とおき、(10) 式の自由エネルギー変化を組合せて $a_{\text{CaO}}(s)$ の温度依存性を求めた。これらと、 $\text{CaO} \cdot \text{SiO}_2$ 組成で各温度での $a_{\text{CaO}}(\text{R.S.})$ を正則溶液関係から求め、相互の値を比較して CaO の活量の変換式として (11) 式を得た。

$$RT \ln a_{\text{CaO}}(s) = RT \ln a_{\text{CaO}}(\text{R.S.}) + 4340 - 5.57/T \quad (11)$$

(11) 式の関係を $\text{CaO} \cdot \text{SiO}_2$ 系に適用し、 $a_{\text{CaO}}(s)$ を算出して諸家の測定値と対比して示したのが Fig. 11 である。本モデルの計算値は、Key らの値に良く一致している。

6. 4 $\text{Fe}_3\text{O}_4 \cdot \text{SiO}_2 \cdot (\text{CaO}, \text{MnO}, \text{Na}_2\text{O})$ 系スラグ成分の活量

以上の関係式を用いて $\text{Fe}_3\text{O}_4 \cdot \text{SiO}_2 \cdot \text{CaO}$ 3 元系スラグの成分の活量の組成依存性を算出し、Fig. 12 に示した。

また、著者か以前測定した $\text{Fe}_3\text{O}_4 \cdot \text{SiO}_2 \cdot \text{MnO}$ 系、 $\text{Fe}_3\text{O}_4 \cdot \text{SiO}_2 \cdot \text{Na}_2\text{O}$ 系スラグに、 $\text{Fe}_3\text{O}_4 \cdot \text{SiO}_2 \cdot \text{CaO}$ 系と同様に正則溶液モデルを適用し、各成分の活量を算出した。これらを Fig. 13 と Fig. 14 に示した。

7. 緒言

製鋼スラグの基本系である $\text{Fe}_3\text{O}_4 \cdot \text{SiO}_2 \cdot \text{CaO}$ 系、 $\text{Fe}_3\text{O}_4 \cdot \text{SiO}_2 \cdot \text{MnO}$ 系、並びに製銅子備処理用フラックスの基本系である $\text{Fe}_3\text{O}_4 \cdot \text{SiO}_2 \cdot \text{Na}_2\text{O}$ 系の 3 種の含 Fe_3O_4 スラグに正則溶液モデルを適用したところ、前二者は Fe_3O_4 、 SiO_2 濃度の極端に高い組成域を除けば、また Na_2O を加えた系では高 Na_2O 濃度領域を除けば充分に正則溶液関係を満足していた。

従って、本 3 系の各スラグ成分の活量を正則溶液モデルから算出し、これらを常用の活量値に変換した。また本系スラグが液鉄と接する場合のスラグ中の $\text{Fe}^{3+}/\text{Fe}^{2+}$ 比、界面での平衡 P_{O_2} を算出した。

参考文献

- (1) J. Lumsden:
"Physical Chemistry
of Process Metallurgy"
Part I, [Interscience
Publisher] N.Y.
(1961), p. 165

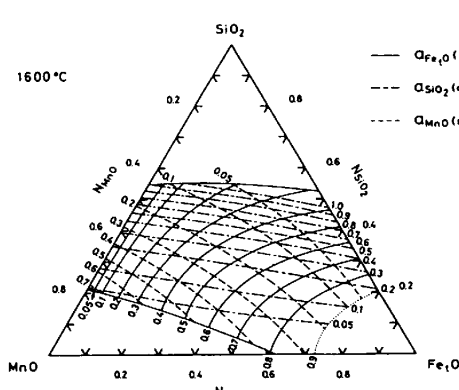


Fig. 13. Iso-activity curves of the components in $\text{Fe}_3\text{O}_4 \cdot \text{SiO}_2 \cdot \text{MnO}$ slags in equilibrium with liquid iron at 1600 °C.

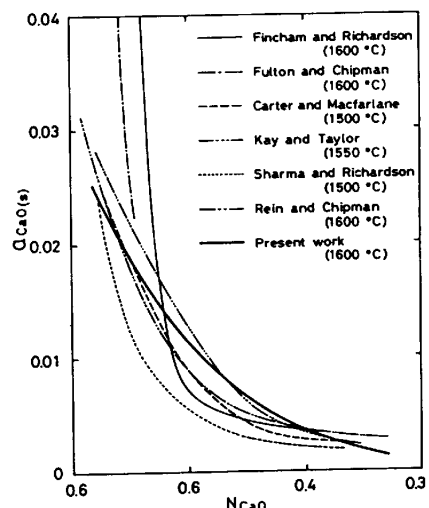


Fig. 11. Activity of CaO in $\text{CaO} \cdot \text{SiO}_2$ system.

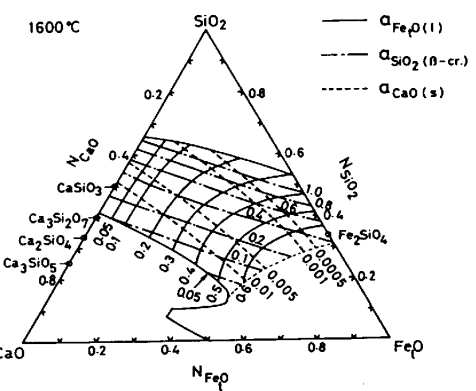


Fig. 12. Iso-activity curves of the components in $\text{Fe}_3\text{O}_4 \cdot \text{SiO}_2 \cdot \text{CaO}$ slags in equilibrium with liquid iron at 1600 °C.

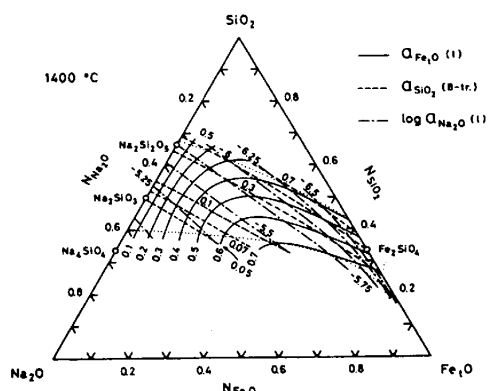


Fig. 14. Iso-activity curves of the components in $\text{Fe}_3\text{O}_4 \cdot \text{SiO}_2 \cdot \text{Na}_2\text{O}$ slags in equilibrium with liquid iron at 1600 °C.